

اثر ترمیمی پپتید غنی از پروولین هیپوتalamوس (PRP-1) روی فعالیت الکتریکی نورون‌های هیپوکامپ در بیماری آلزایمر ایجادشده به وسیله پپتیدهای بتا آمیلوئید (A β 1-42) و (A β 25-35) در موش‌های صحرایی

ناصر خاجی^{*}, جون سرکیسیان^۲, ورژینه چاوشیان^۳, واغیناک سرگیسیان^۴

تاریخ دریافت 32/04/25 تاریخ پذیرش 1393/06/14

چکیده

پیش‌زمینه و هدف: بیماری آلزایمر شایع‌ترین نوع جنون مغزی است که به آهستگی حافظه و مهارت‌های تفکری را از بین می‌برد. این بیماری درمان بخصوصی ندارد و سرانجام منجر به مرگ می‌شود.

اخيراً پپتید غنی از پروولین از هیپوتalamوس (PRP-1) استخراج شده که طیف وسیعی از عمل بیولوژیکی روی اینمنی و سیستم عصبی دارد. هدف از پژوهش حاضر بررسی اثر PRP-1 روی فعالیت الکتریکی نورون‌های هیپوکامپ در بیماری آلزایمر ایجادشده توسط پروتئین‌های بتا آمیلوئید A β 1-42 و A β 25-35 هست. اثر A β 1-42 در ایجاد بیماری آلزایمر شدیدتر از A β 25-35 می‌باشد. بنابراین بررسی شدت بیماری، شناخت و تسریع درمان بیماری آلزایمر اساس این پژوهش می‌باشد.

مواد و روش کار: مطالعه تجربی حاضر روی ۲۰ سر موش صحرایی نر بالغ از نژاد ویستانر با سن ۳ الی ۴ ماهگی و با وزن ۲۶۰ تا ۲۰۰ گرمی انجام گرفت. ابتدا موش‌های صحرایی به صورت تصادفی به پنج گروه چهارتابی تقسیم شدند (گروه کنترل، گروه‌های بتا آمیلوئیدی و گروه‌های بتا آمیلوئیدی به همراه PRP-1). در گروه کنترل بدون تزریق محلول‌های بتا آمیلوئید و PRP-1، در گروه‌های بتا آمیلوئیدی بعد از تزریق ۳ میکرولیتر محلول‌های بتا آمیلوئید و در گروه‌های بتا آمیلوئیدی به همراه PRP-1 بعد از تزریق محلول‌های بتا آمیلوئید و درمان با PRP آزمایش الکتروفیزیولوژی با تحریک ناحیه اپیتورینال با فرکانس ۵۰ و ۱۰۰ هرتز انجام گرفت و فعالیت الکتریکی نورون‌های هیپوکامپ به صورت تتابیک پتانسیشن و تتابیک دیپریشن ثبت گردید.

یافته‌ها: نتایج این تحقیق نشان داد هنگام استفاده از PRP در بیماری آلزایمر شدید به وسیله A β 25-35 پست استیمولوس تحریکی و مهاری زودرس و تأخیری فعالیت نورون‌های هیپوکامپ به سطح نرمال رسیدند، اما در نمونه مدل A β 1-42 فعالیت تظاهرات مهاری پست استیمولوس در سطح نرمال نرسیدند.

نتیجه‌گیری: در طی مسمومیت با A β 25-35 A β 1-42 ماهیت پست استیمولوس مهاری ثبت شده گاباپرازیک در این مطالعه میسر، تحریک نورونی خنثی و اثر محافظتی حمایت شده به وسیله PRP-1 تأمین گردید.

لغات کلیدی: بیماری آلزایمر، پپتید غنی از پروولین هیپوتalamوس (PRP-1)، فعالیت الکتریکی نورون‌ها، هیپوکامپ، پپتیدهای بتا آمیلوئید 35-25 و A β 1-

42

مجله پژوهشی ارومیه، دوره پیست و پنجم، شماره هشتم، ص ۷۱۷-۷۰۶، آبان ۱۳۹۳

آدرس مکاتبه: ارومیه، دانشگاه علوم پزشکی ارومیه، دانشکده پزشکی، گروه فیزیولوژی، تلفن: ۰۴۴-۳۲۷۸۰۸۰۳

Email: khalaji.naser@gmail.com

توده‌ای از هیپرفیزیولاسیون میکروتوپولی مربوط به پروتئین تائو در نوروفریبل‌ها در داخل سلول‌های عصبی می‌باشد که نتیجه آن منجر به اختلال در نظم سیناپس‌ها و تحریک نورونی می‌شود^(۲).

مقدمه

بیماری آلزایمر شایع‌ترین نوع جنون مغزی در کوهنسلی می‌باشد^(۱). نشانه اصلی پاتولوژی بیماری آلزایمر وجود پلاک‌های بتا آمیلوئیدی در خارج سلول‌های عصبی و تجمع

^۱ استادیار فیزیولوژی، دانشگاه علوم پزشکی ارومیه، دانشکده پزشکی (نویسنده مسئول)

^۲ استاد نوروفریولوژی، دانشگاه ملی ایران، استیتو نوروفریولوژی اوربیلی

^۳ استاد نوروفریولوژی، دانشگاه ملی ایران، استیتو نوروفریولوژی اوربیلی

^۴ استاد نوروفریولوژی، دانشگاه ملی ایران، استیتو نوروفریولوژی اوربیلی

مطالعات الکتروفیزیولوژی نشان دادند که آسیب حافظه اخباری طولانی مدت و بیماری‌های تخریب نورونی مربوط به تغییرات در تقویت طولانی مدت (LTP) و تضعیف طولانی مدت (LTD) در هیپوکامپ و سایر نقاط لوب گیجگاهی در گیر در تشکیل حافظه می‌باشد (۲۲).

در طی دمه گذشته محققان پیشنهاد کردند که یک عدم تعادل بین سیستم نوروترانسミتری تحریکی و مهاری در زمینه عملکرد غیرطبیعی سیناپسی وجود دارد که عامل آن در اثر بتا آمیلوئید می‌باشد (۲۳).

علی‌رغم پیشرفت در علم پژوهشی و تحقیقات وسیع در بیماری آلزایمر هنوز تشخیص زود به هنگام و درمان کامل آن ناکامل مانده است.

اخيراً^۱ PRP-1 از سلول‌های مترشحه پاراونتريکولار و سپرپاپتیک هیپوتalamوس استخراج شده است که اثر بیولوژیک فعال روی اینمی، سیستم عصبی و همچنین اثر محافظتی عمومی روی فرآیند تخریب نورونی دارد (۲۴، ۲۵).

با توجه به اینکه در مطالعات قبلی ما PRP-1 اثر تسريع در جبران دلیلی بعد از لابیرنکتومی یک طرفه روی فعالیت الکتریکی نورون‌های دیترز داشت (۲۶) و نیز اثر کاهش پلاک‌های آمیلوئیدی و حفظ زنده ماندن سلول‌های عصبی در بخش هیپوکامپ و ادامه حیات آن‌ها شده بود (۲۷)، لذا ما نسیم گرفتیم اثر PRP-1 را روی فعالیت الکتریکی نورون‌های هیپوکامپ در بیماری آلزایمر به صورت تناوبی پتانسیشن (TP) و تناوبی دیپریشن (TD) در دو نوع از بتا آمیلوئید بررسی کنیم.

مواد و روش کار

مطالعه تجربی حاضر روی ۲۰ سر موش صحرایی نر بالغ از نژاد ویستار با سن ۳ الی ۴ ماهگی و با وزن ۲۰۰ تا ۲۶۰ گرمی انجام گرفت. ابتدا موش‌های صحرایی به صورت تصادفی به پنج گروه چهارتایی تقسیم شدند (گروه کنترل، گروه‌های بتا آمیلوئیدی و گروه‌های بتا آمیلوئیدی به همراه PRP-1). با توجه به اینکه آزمایش فوق ثبت فعالیت الکتریکی نورون‌ها بود و داده‌های بدست آمده از هر رت بیش از ۸۰ نمونه بود به این تعداد اکتفا گردید. موش‌های صحرایی در حیوان‌خانه استاندارد با ۱۲ ساعت روشنایی و ۱۲ ساعت تاریکی با درجه حرارت ۲۰ الی ۲۲ درجه سانتی‌گراد و بدون محدودیت آب و غذا نگهداری می‌شدند و از اصول (NIH publication no.85-23, revised 1985) پیروی گردیدند.

در گروه کنترل بدون تزریق محلول‌های بتا آمیلوئید و محلول PRP-1 ناحیه اینتورینال با فرکانس ۵۰ و ۱۰۰ هرتز و با ولتاژ

از دست رفتن نورون‌ها و سیناپس‌ها در قشر مغز و مناطق خاص زیر قشری ایجاد می‌گردد. این مناطق شامل: تخریب نورونی در لوب گیجگاهی، آهیانه‌ای، بخشی از فرونتال، شکنج سینگولیت (۳) و همچنین در هسته‌های ساقه مغزی نظری لوكوس سرلوس ایجاد می‌گردد (۴). در بیماری آلزایمر عدم تنظیم سیگنال‌های داخل سلوی و آندوسیتوز منجر به تجمع بتا آمیلوئید و تشکیل پروتئین تاؤ می‌گردد (۵). همچنین تغییرات در هوموستاز کلسیم در نورون‌ها و سلول‌های گلیا و نیز تغییرات در فعالیت میکروگلیا و دیگر اختلالات منجر به مرگ سلوی در بیماری آلزایمر می‌گردد (۶).

در مراحل اولیه این بیماری، تجمع تدریجی اولیگومرهای محلول بتا آمیلوئید منجر به اختلال در عملکرد سیستم کولینرژیکی و اختلال خفیف شناختی می‌شود (۷) اما در مراحل بعدی تشکیل پلاک‌های بتا آمیلوئیدی و نیز التهاب مزمن و تخریب نورونی منجر به جنون مغزی شدید می‌گردد (۸). یکی از علل اصلی تخریب نورونی در بیماری آلزایمر تجمع پلاک‌های بتا آمیلوئید در مغز می‌باشد (۹). همچنین وجود پلاک‌ها در هیپوکامپ مانع از انتقال پیام عصبی نیز می‌شود (۱۰).

پروتئین بتا آمیلوئید آلزایمر یک پیتید ۳۹ تا ۴۳ اسید‌آمینه‌ای است که ترکیب اصلی در بیماری آلزایمر می‌باشد (۱۱) و پیتید کامل آن که نقش اصلی در ایجاد این بیماری دارد، بتا آمیلوئید A β 1-42 عمومی‌ترین نوع بتا آمیلوئید می‌باشد و قطعات دیگر که همانند قطعه کامل باعث ایجاد بیماری آلزایمر می‌شوند، عبارتند از: A β 1-28، A β 1-24-42 و A β 34-42 (۱۲). A β 25-35 عمومی‌ترین نوع بتا آمیلوئید با زنجیره طویل می‌باشد که توسط رتیکولوم آندوپلاسمیک دانه دار تشکیل می‌گردد و شاخه‌های کوچک‌تر آن نظریل A β 25-35 توسط دستگاه گلزی ایجاد می‌گردد (۱۳). بتا آمیلوئید A β 1-42 اثر فیرولوژنیک قوی تری دارد و نیز در ایجاد بیماری آلزایمر شدت اثر بالاتر از بتا آمیلوئید A β 25-35 دارد (۱۴).

این پیتیدها مسیر آپیتوزیس را فعال می‌کند (۱۵-۱۷)، بعضی محققان پیشنهاد کردند که آپیتوزیس در بیماری آلزایمر به علت عوامل ژنتیکی، محیطی، فاکتورهای داخلی و همچنین فعالیت غیر طبیعی پروتئین‌ها می‌باشد (۱۸).

مطالعات انجام گرفته روی حیوانات در بیماری آلزایمر نشان داده‌اند که بدتر شدن عملکرد شناختی مرتبط با تغییرات چشمگیری در پلاستیتی سیناپسی می‌باشد (۱۹) و تضعیف سیناپسی نتیجه تجمع بتا آمیلوئید می‌باشد (۲۰) و بتا آمیلوئید باعث اختلال در هموستاز یون کلسیم داخل سلوی شده که نقش مرکزی در بیماری زایی این بیماری دارد (۲۱).

بیستوری کنار زده شد تا ناحیه بریگما و لامبودا مشخص گردد. بعد از مشخص شدن ناحیه بریگما و لامبودا، استروتاکسی کوردیناتور توسط استاندارد الکترود هولدر انجام گرفت. توسط الکترود هولدر رکورد بر اساس اطلس پاگزینوس و واتسون محل‌های هیپوکامپ و اینتوريinal علامت گذاری شدند. برای علامت گذاری ناحیه بریگما را صفر در نظر گرفته شده و برای تعیین ناحیه اینتوريinal ۱۰ میلی متر به عقب سمت لامبودا آمده و ۳,۵ میلی متر به سمت چپ یا راست و عمق ناحیه از بافت مغز ۴ میلی متر بود. ناحیه هیپوکامپ ۳,۵ میلی متر عقب، ۳,۵ میلی متر به سمت چپ یا راست و عمق ناحیه ۲,۸ تا ۴ میلی متر بود.

بعد از علامت گذاری با مته دندان پیشکی محل‌های مشخص شده را سوراخ و الکترود رکورد که به لومن کاپیلر وصل بود و حاوی مایع کلراید سدیم ۲ مولاری بود به ناحیه هیپوکامپ فرو برده شد و الکترود استیمولاوس نیز در ناحیه اینتوريinal فرو برده شد. ناحیه اینتوريinal با فرکانس ۵۰ و ۱۰۰ هرتز و با ولتاژ ۰,۱۶ میلی آمپر به مدت ۱ ثانیه توسط دستگاه استیمولاوتور مدل JS T10 تحریک گردید.

پتانسیل عمل غشاء سلول‌ها توسط الکترود رکورد به آمپلی فایر پیرامید مدل PS-32 Lab انتقال و اطلاعات از آن توسط دو رابط خروجی به اوسلیوسکوپ مدل A تکترونیکس ۴۷۵ می‌رفت. از اوسلیوسکوپ اطلاعات توسط یک سیم رابط به کامپیوتر که برنامه رکورد و آنالیز در کامپیوتر نصب شده بود انتقال می‌یافتد. این برنامه استیمولاوس ها را منطبق بر روی پتانسیل غشاء می‌کرد و از رکورد رایج داخل سلولی حاصل از تنانیک پتانسیشن و تنانیک دیپریشن طولانی مدت خود داری می‌کرد. در این پروگرم همزمان Show Data با مشاهده امواج در اوسلیوسکوپ با زدن کلیک روی امواج نیز در کامپیوتر نمایان می‌شد. محدوده ولتاژ ایمپالس را در برنامه کامپیوتر انتخاب کرده، طول زمان رکورد را روی ۱۰ گذاشته و دکمه رکورد را می‌زدیم که بعد از ۱۰ ثانیه به مدت ۱ ثانیه استیمولاوس می‌گرفت. داده‌های الکتروفیزیولوژی توسط Student's T Test مورد تجزیه و تحلیل آماری قرار گرفت. $P \leq 0/05$ سطح معنی‌دار تلقی گردید.

یافته‌ها

یافته‌های الکتروفیزیولوژی نورون‌های هیپوکامپ با تحریک ناحیه اینتوريinal با فرکانس ۵۰ و ۱۰۰ هرتز در گروه نرمال، در گروه‌های دریافت کننده محلول‌های بتا‌آمیلوئید $A\beta25-35$ و $A\beta1-42$ و نیز در گروه‌های بتا‌آمیلوئید به همراه PRP-1 در شکل‌های ۱ تا ۳ به قرار زیر می‌باشد.

۱۶، ۰ میلی آمپر به مدت ۱ ثانیه تحریک و فعالیت الکتریکی نورون‌های هیپوکامپ به صورت تنانیک پتانسیشن (TP) و تنانیک دیپریشن (TD) و نیز به صورت پست تنانیک پتانسیشن (PTP) و پست تنانیک دیپریشن (PTD) ثبت گردید.

در گروه بتا آمیلوئید $A\beta25-35$ بعد از بی هوشی با تزریق آمپول پنتابریتال به مقدار ۴۰ میلی گرم بر کیلوگرم به صورت داخل صفاقی، محلول بتا‌آمیلوئید $A\beta25-35$ به مقدار ۳ میکرولیتر با غلظت ۱۰ مولاری داخل بطنی (ICV) تزریق و ۱۲ هفته بعد آزمایش الکتروفیزیولوژی انجام گرفت.

در گروه بتا آمیلوئید به همراه PRP-1 ۲۴ ساعت بعد از تزریق بتا‌آمیلوئید، محلول PRP-1 به مقدار ۱،۰ میلی گرم بر کیلوگرم هر روز به صورت داخل صفاقی به مدت ۳ هفته تزریق شد و در گروه بتا‌آمیلوئید $A\beta25-35$ به همراه PRP-1 ۷،۰ و ۱۷ هفته بعد از اتمام PRP-1 و در گروه بتا‌آمیلوئید $A\beta1-42$ به همراه PRP-1 ۲۴ هفته بعد از اتمام PRP-1 آزمایش الکتروفیزیولوژی انجام گرفت (محل تزریق بر اساس اطلس پاگزینوس و واتسون تعیین گردید). PRP-1 (۲۸) از مرکز تحقیقاتی بیوشیمی ایران که توسط گالویان استخراج شده بود تهیه گردید و بتا‌آمیلوئیدها از شرکت سیگما-آلدیریج آمریکا خریداری شدند.

برای ثبت فعالیت الکتریکی نورون‌های هیپوکامپ ابتدا به موش صحرایی جهت عدم تحرک آمپول دیتیلینیوم ۱ درصد به مقدار ۲۵ میلی گرم به صورت داخل صفاقی تزریق گردید. بلا فاصله بعد از تزریق دیتیلینیوم جهت جلوگیری از ارست تنفسی در موش صحرایی زیر دستگاه استروتاکسی به ونتیلاتور وصل و توسط دستگاه الکتروکاردیوگراف مانیتورینگ گردید.

برای قطع ارتباط مغز از نخاع به زیر پوست ناحیه قطع نخاع بین مهره پشتی T1-T2 آمپول نواکائین ۵ درصد جهت بی‌حسی تزریق شد. ۵ دقیقه بعد از تزریق که بی‌حسی ایجاد شد پوست اطراف T1 تا T3 را توسط قیچی جراحی برداشته شد. در این موقع ورید پشتی مشاهده می‌شد که از آن یک مقدار پایین تر محل T1 بود. عضلات و لیگامنهای بین T1 و T2 را برداشتمیم تا مفصل بین T1 و T2 آزاد و مشاهده گردد. در این موقع با قیچی کوچک جراحی، نخاع را بین این دو مهره قطع گردید. هنگام بریدن نخاع ریت قلبی کاهش یافته که این نشان دهنده آن است که شوک نخاعی ایجاد شده و درست قطع شدن نخاع را نشان می‌دهد بعد از قطع نخاع به زیر پوست سر نیز آمپول نواکائین ۵ درصد تزریق و بعد پوست سر و عضلات و بافت لیفی سر با تیغ

کمتر بود بطوری که میانگین تعداد اسپایک های ایجاد شده در هنگام تحریک ۷۱،۰ اسپایک در هر ثانیه و قبل از تحریک ۳،۹۳ اسپایک در هر ثانیه بود و بعد از تحریک این اسپایک ها ۲،۴۰ عدد در هر ثانیه رسیده بودند (شکل ۱ نمودار B گروه B و شکل ۲ نمودار E) . و تنانیک پتانسیشن تأخیری به دنبال تنانیک پتانسیشن و یک تنانیک پتانسیشن تأخیری قابل محسوس در یک محدوده زمانی به دنبال تنانیک پتانسیشن نیز مشاهده گردید (شکل ۱ نمودار A و شکل ۲ نمودار B)، و تنانیک دیپریشن تأخیری به دنبال تنانیک دیپریشن و یک تنانیک پتانسیشن قبل از تحریک نیز مشاهده گردید(شکل ۲ نمودار E).

همچنین هنگام استفاده از بتا-آمیلوئید A β 1-42 همانند A β 25-35 تضعیف نورونی وجود داشت اما کاهش اسپایک ها نسبت به آن نسبتاً کمتر بود. تنانیک پتانسیشن نسبت به قبل از تحریک ۱،۵ برابر بود و تعداد اسپایک ها ۳ برابر کمتر از گروه نرمال در هنگام تحریک بود بطوری که میانگین تعداد اسپایک های ایجاد شده در هنگام تحریک اسپایک در هر ثانیه و قبل از تحریک ۵،۲۹ اسپایک در هر ثانیه بود و بعد از تحریک تعداد اسپایک ها ۵،۱۰ اسپایک در هر ثانیه رسیده بود. (شکل ۱ نمودار C گروه E و شکل ۳ نمودار B). تنانیک دیپریشن نیز ۱،۸ برابر نسبت به قبل از تحریک کمتر بود بطوری که میانگین تعداد اسپایک های ایجاد شده در هنگام تحریک ۴،۶۲ اسپایک در هر ثانیه بود و بعد از تحریک این اسپایک ها ۵،۳۴ عدد در هر ثانیه رسیده بودند (شکل ۱ نمودار D گروه E, F).

اما در گروه بتا-آمیلوئید A β 25-35 به همراه PRP-1 فعالیت الکتریکی نورون ها افزایش یافته بود بطوری که تنانیک پتانسیشن ایجاد شده ۷،۵ برابر قبل از تحریک بود و تعداد اسپایک ها در هنگام تحریک از گروه نرمال کمی تجاوز کرده بود و به ۱،۳ برابر رسیده بود اما تعداد اسپایک ها در مقایسه با گروه نرمال قبل و بعد از تحریک تفاوت چندانی نداشت. میانگین تعداد اسپایک های ایجاد شده در هنگام تحریک ۴۴،۵۶ اسپایک در هر ثانیه و قبل از تحریک ۵،۸۹ اسپایک در هر ثانیه و بعد از تحریک نیز به ۷،۴۰ اسپایک در ثانیه رسیده بود. (شکل ۱ نمودار A گروه A و B و شکل ۲ نمودار C). تنانیک دیپریشن نیز ۴،۳ برابر نسبت به قبل از تحریک کمتر بود. بطوری که میانگین تعداد اسپایک های ایجاد شده در هنگام تحریک ۴۵،۰ اسپایک در هر ثانیه و قبل از تحریک ۱۹،۷ اسپایک در هر ثانیه بود و بعد از تحریک این اسپایک ها ۲۱،۹ عدد در هر ثانیه رسیده بودند(شکل ۲ نمودار F).

در گروه بتا-آمیلوئید A β 1-42 به همراه PRP-1 تنانیک پتانسیشن ۲ برابر قبل از تحریک بود و از گروه نرمال در حین

فعالیت الکتریکی نورون ها به صورت اسپایک و ثبت آنها در نمودارها به صورت تنانیک پتانسیشن (TP) و تنانیک دیپریشن (TD) و نیز تنانیک پتانسیشن تأخیری (PTP) و تنانیک دیپریشن تأخیری (PTD) ارائه شد و نمودارها با هم دیگر در گروه های مختلف مقایسه گردیدند.

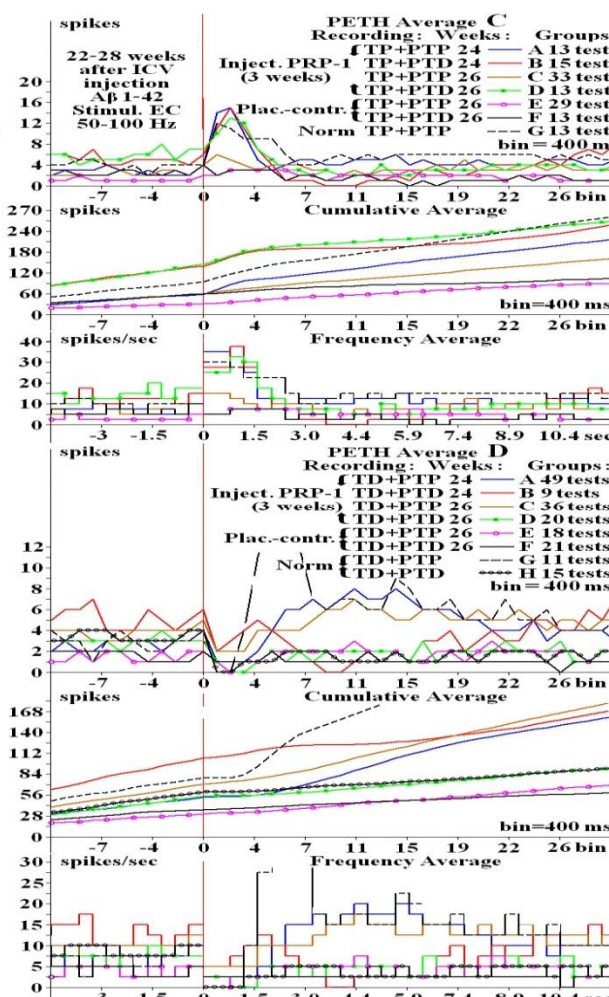
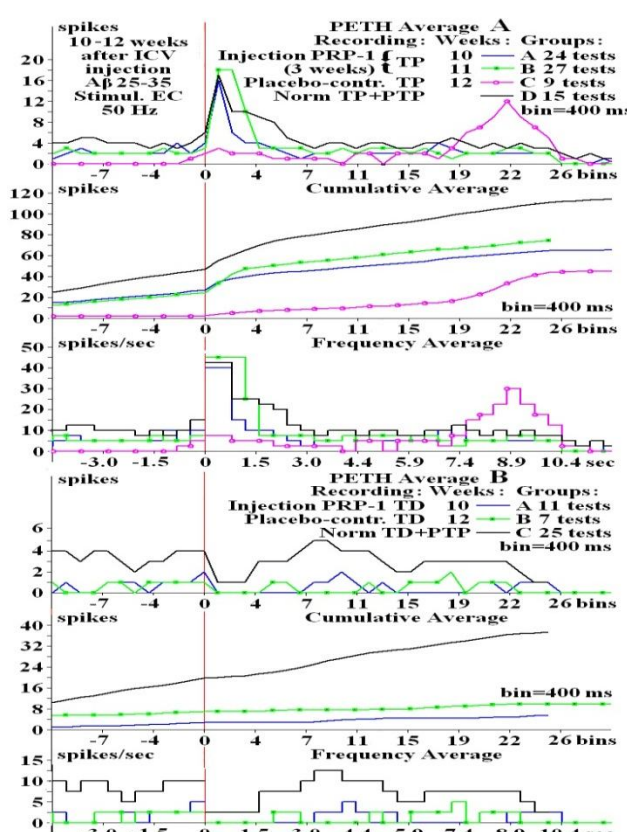
در گروه نرمال با تحریک ناحیه اینتورینال با فرکانس ۵۰ و ۱۰۰ هرتز باعث ایجاد تنانیک پتانسیشن (TP) و تنانیک دیپریشن (TD) شده و در حین تحریک تنانیک پتانسیشن (TP) ۳ برابر نسبت به قبل از تحریک بالا بود بطوری که میانگین تعداد اسپایک های ایجاد شده در هنگام تحریک ۳۲،۴۷ اسپایک در هر ثانیه و قبل از تحریک ۱۰،۴۹ اسپایک در هر ثانیه بود و بعد از تحریک نیز به سطح اولیه یعنی قبل از تحریک رسیده بود که این اسپایک ها ۱۱،۸۳ عدد در هر ثانیه بودند (شکل ۱ نمودار A گروه D و شکل ۲ نمودار A) اما تنانیک دیپریشن ۵،۳ برابر نسبت به قبل از تحریک کمتر بود بطوری که میانگین تعداد اسپایک های ایجاد شده در هنگام تحریک ۲۶،۰ اسپایک در هر ثانیه و قبل از تحریک ۹،۱۶ اسپایک در هر ثانیه بود و بعد از تحریک نیز حدوداً به سطح اولیه یعنی قبل از تحریک رسیده بود که این اسپایک ها ۸،۶۰ عدد در هر ثانیه رسیده بودند (شکل ۱ نمودار B, D و شکل ۲ نمودار D). به عبارت دیگر میانگین اسپایک های ایجاد شده در حین تحریک بالا بود و در هنگام تنانیک پتانسیشن ۳ برابر نسبت به قبل از تحریک بالا بود و در هنگام تنانیک دیپریشن میانگین اسپایک ها در حین تحریک ۳،۵ برابر نسبت به قبل از تحریک پایین بود.

همچنین در گروه نرمال تنانیک پتانسیشن تأخیری (PTP) (شکل ۱ نمودار A, C و شکل ۲ نمودار A و شکل ۳ نمودار A) به دنبال تنانیک پتانسیشن و تنانیک دیپریشن تأخیری (PTD) (شکل ۱ نمودار D و شکل ۲ نمودار D و شکل ۳ نمودار E) به دنبال تنانیک دیپریشن نیز ایجاد شد با این وجود یک توان اسپایک قبل و بعد از تحریک وجود دارد.

هنگام استفاده از محلول بتا-آمیلوئید A β 25-35 اولاً تضعیف فعالیت الکتریکی نورونی قبل از تحریک بطور قابل محسوس مشاهده گردید و ثانیاً یک عدم توازن اسپایک ها قبل و بعد از تحریک وجود داشت. در این گروه تنانیک پتانسیشن نسبت به قبل از تحریک ۶،۵ برابر بالا بود و تعداد اسپایک ها ۴،۵ برابر کمتر از گروه نرمال در هنگام تحریک مشاهده شد بطوری که میانگین تعداد اسپایک های ایجاد شده در هنگام تحریک ۱۱،۷ اسپایک در هر ثانیه و قبل از تحریک ۱۰،۱۳ اسپایک در هر ثانیه بود و بعد از تحریک سطح اسپایک ها بالا بود و تعداد اسپایک ها در هر ثانیه ۹،۶ عدد رسیده بودند(شکل ۱ نمودار A گروه C و شکل ۲ نمودار B). تنانیک دیپریشن نیز ۵،۵ برابر نسبت به قبل از تحریک

ثانیه رسیده بود. (شکل ۳ نمودار A و D) و تثابیک دیپریشن نیز ۴،۳ برابر نسبت به قبل از تحریک کمتر و همانند گروه PRP-1 به همراه A β 25-35.

تحریک ۱۵ برابر کمتر بود. اما قبل و بعد از تحریک تعداد اسپایک ها نزدیک به نرمال بود میانگین تعداد اسپایک های ایجاد شده در هنگام تحریک ۱۹،۲۹ اسپایک در هر ثانیه و قبل از تحریک ۹،۷۱ اسپایک در هر ثانیه و بعد از تحریک نیز به ۱۲،۱۷ اسپایک در



شکل (۱)

شکل ۱ فعالیت الکتریکی نورون های هیپوکامپ به صورت دیاگرام در گروه کنترل، گروه های بتا آمیلوئید و گروه های بتا آمیلوئید به همراه PRP-1 قبل از تحریک، در هین تحریک و بعد از تحریک ناحیه اینتورینال با فرکانس ۵۰ و ۱۰۰ هرتز در طول ۱ ثانیه و بر اساس میانگین تعداد اسپایک ها به صورت هیستوگرام (نمودار A,B,C,D)، جمع هیستوگرام ها و میانگین فرکانس هیستوگرام ها را نشان می دهد. نمودارهای سمت چپ مربوط به مقایسه گروه کنترل با گروه بتا آمیلوئید A β 25-35 و گروه درمان با PRP-1 می باشد. و نمودارهای سمت راست مربوط به مقایسه گروه کنترل با گروه بتا آمیلوئید A β 1-42 و گروه درمان با PRP-1 می باشد.

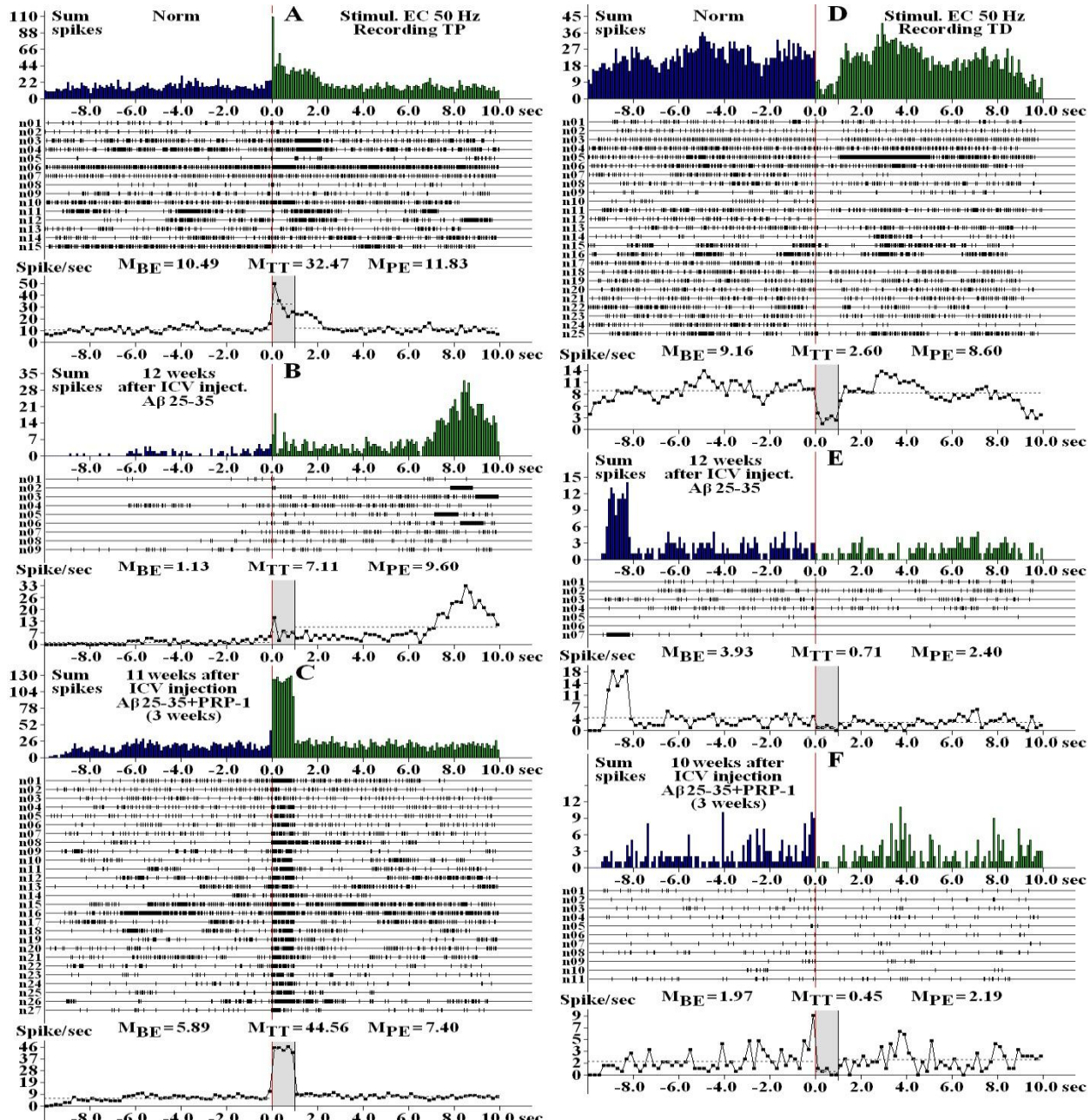
خط عمودی در سمت چپ نمودارها نماینگر تعداد اسپایک ها و خط افقی مربوط به زمان می باشد که ۱۰ ثانیه قبل از تحریک، ۱ ثانیه در هنگام تحریک و ۱۰ ثانیه بعد از تحریک می باشد و بر اساس bin ارائه شده که هر bin برابر ۴۰۰ میلی ثانیه می باشد، خط عمودی میانی در نمودارها مربوط به زمان تحریک می باشد.

TD: تثابیک دیپریشن می باشد یعنی هنگام تحریک با فرکانس ۵۰ یا ۱۰۰ هرتز مهار یا کاهش اسپایک در طول ۱ ثانیه ایجاد شده است.

TP: تثابیک پتانسیشن می باشد یعنی هنگام تحریک با فرکانس ۵۰ و ۱۰۰ هرتز افزایش اسپایک در طول ۱ ثانیه ایجاد شده است.

PTD: نماینگر تثابیک دیپریشن تأخیری است.

PTP: نماینگر تثابیک پتانسیشن تأخیری می باشد.



(۲)

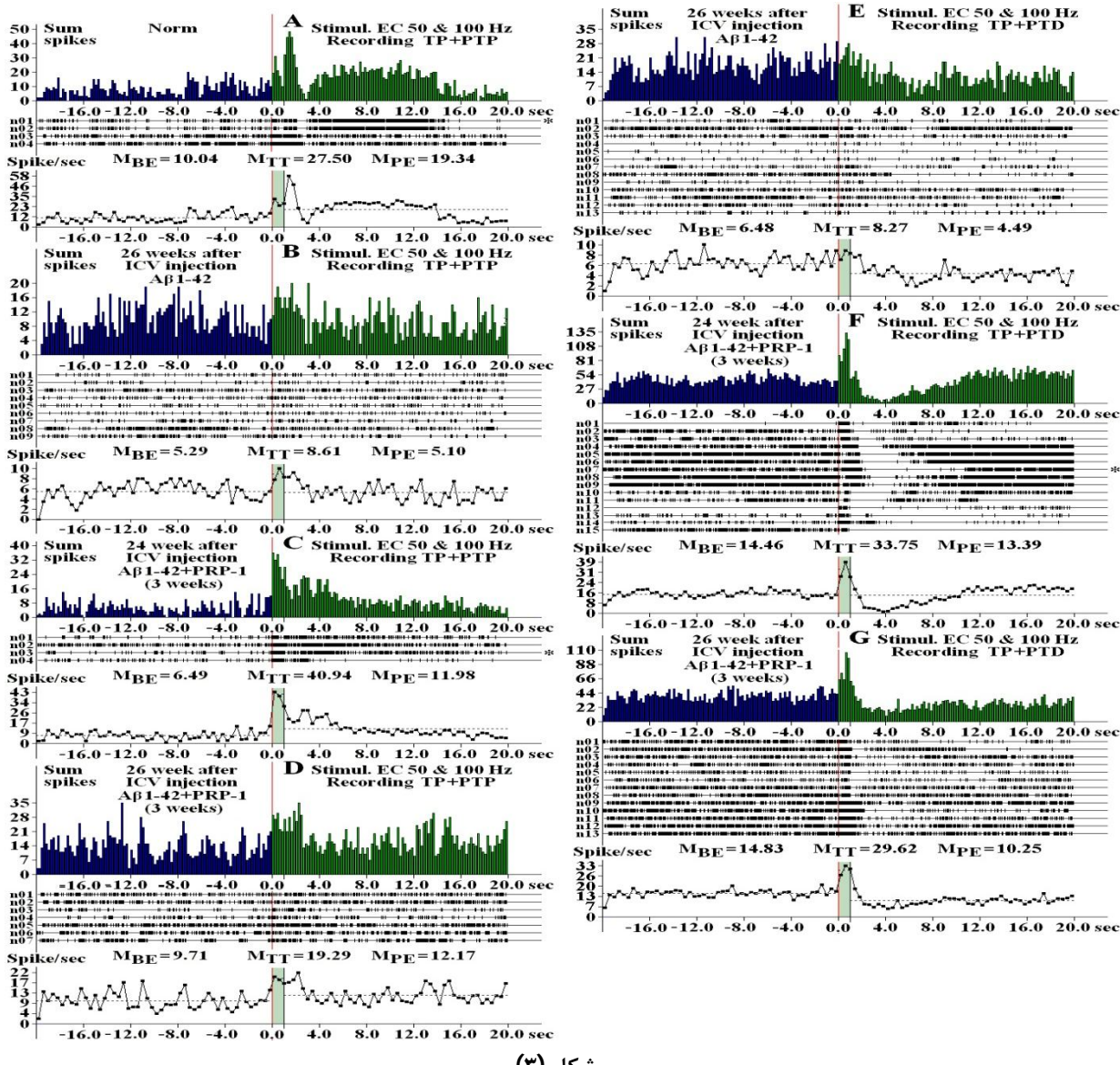
شکل ۲ فعالیت الکتریکی نورون‌های هیپوکامپ به صورت اسپایک نورون‌های متعدد و جمع اسپایک‌ها و میانگین آن‌ها به صورت دیاگرام قبل از تحریک در حین تحریک و بعد از تحریک ناحیه اینتورینال در گروه نرمال (نمودار A و D)، گروه بتا آمیلوئید A_β25-35 (B و E) و نیز گروه بتا آمیلوئید A_β25-35 به همراه PRP-1 (C و F) را نشان می‌دهد.

در این شکل قسمت E,D,C,B,A و F بخش بالای هر قسمت مربوط به جمع اسپایک‌ها قبل از تحریک و بعد از تحریک می‌باشد و بخش میانی اسپایک‌های نورون‌های متعدد قبل از تحریک در حین تحریک می‌باشد. و بخش پایین به صورت نمودار همان نورون‌ها و نیز میانگین به صورت عددی قبل از تحریک و بعد از تحریک و در حین تحریک می‌باشد.

MBE، میانگین اسپایک‌ها قبل از تحریک.

MTT، میانگین اسپایک در حین تحریک.

MPE، میانگین اسپایک‌ها بعد از تحریک.



(۳)

شکل ۳ فعالیت الکتریکی نورون‌های هیپوکامپ به صورت اسپایک نورون‌های متعدد و جمع اسپایک‌ها و میانگین آن‌ها به صورت دیاگرام قبل از تحریک در حین تحریک و بعد از تحریک ناحیه اینتورینال در گروه نرمال (نمودار A)، گروه بتا آمیلوئید A β 1-42 (B و E) و نیز گروه بتا آمیلوئید A β 1-42 + PRP-1 (C,F,D) را نشان می‌دهد.

در این شکل قسمت (A, B, C, D, E, F, G) بخش بالای هر قسمت مربوط به جمع اسپایک‌ها قبل از تحریک در حین تحریک و بعد از تحریک می‌باشد و بخش میانی اسپایک‌های نورون‌های متعدد قبل از تحریک در حین تحریک و بعد از تحریک می‌باشد. و بخش پایین به صورت نمودار همان نورون‌ها و نیز میانگین به صورت عددی قبل از تحریک و بعد از تحریک و در حین تحریک می‌باشد.

MBE، میانگین اسپایک‌ها قبل از تحریک.

MTT، میانگین اسپایک در حین تحریک.

MPE، میانگین اسپایک‌ها بعد از تحریک

باعث ایجاد تنانیک پتانسیشن و تنانیک دیپریشن در نورون‌های هیپوکامپ در زمان تحریک و نیز ایجاد تنانیک پتانسیشن و تنانیک دیپریشن تأخیری شده است. حتی نورون‌ها قبل از تحریک

بحث و نتیجه‌گیری

نتایج مطالعه حاضر نشان داد هنگام تحریک ناحیه اینتورینال با فرکانس ۵۰ و ۱۰۰ اهرتز در موش‌های صحرابی در گروه نرمال

شده است که بتا آمیلوئید باعث مرگ نورونی و عدم هماهنگی سیناپسی می‌گردد (۲۰,۲۴,۳۸,۳۹) همچنین افزایش آستانه تحریک تنانیک پتانسیشن طولانی LTP و کاهش آستانه تحریک تنانیک دیپریشن طولانی (LTD) در بیماری آلزایمر وجود دارد که نتیجه آن LTD در سلول‌های عصبی وجود دارد (۲۲) بطوری که در نتایج ما نیز TD و PTD نسبت به سطح نرمال در گروه‌های آمیلوئیدی در سطح وسیعی وجود داشت.

در مطاله حاضر تضعیف نورونی هنگام استفاده از بتا آمیلوئید A β 25-35 نسبت به بتا آمیلوئید A β 1-42 بیشتر بود و این می‌تواند به علت طول زمان آزمایش باشد بطوری که آزمایش A β 1-42 دو برابر طولانی تر از زمان آزمایش گروه ۳۵-25 بود. اما نتایج حاصل از این پژوهش با استعمال ۱-PRP در هر دو گروه نشان داد که سطح اسپایک‌ها به سطح نرمال رسیده و فعالیت الکتریکی نورون‌ها برگشت پذیر شده است. ۱-PRP توسط سلول‌های پاراونتیکولار و سوپرالپتیک هیپوپوتالاموس ترشح شده و نقش بیولوژیک گستردۀ آن نیز ثابت شده است. ۱-PRP در تجلی مکانیسم‌های اینتلرولوکین های (TNF, iL1, iL6) در فیبروبلاستها، ماکروفازها و آستروسویت‌ها دخالت دارد (۴۰). مطالعات اخیر نشان دادند که آستروسویت‌ها پردازش، هماهنگی اطلاعات سیناپسی، انتقال و پلاستیتی سیناپسی را تأمین می‌کنند (۴۱) و همچنین دارای رسپتورهای عملکردی برای نوروترانسمیترها و پاسخ به تحریکشان از طریق کاهش ترانسمیترهای گلیا هستند (۴۲).

با توجه به اینکه ۱-PRP باعث فعالیت اینمولوژیک و همچنین اثر محافظتی عمومی روی فرآیند نورونی دارد و نیز باعث گسترش فعالیت آستروسویت‌ها و نوروگلیا می‌گردد به احتمال زیاد ۱-PRP با این مکانیسم با حفظ هموستاز کلیمی، نورون‌های گلوتاماترژیک و کلینرژیک باعث ترمیم فعالیت الکتریکی نورون‌های هیپوکامپ شده است.

نیز فعالیت الکتریکی از خود نشان می‌دادند. ناحیه اینتورینال بخشی از قسمت میانی هیپوکامپ می‌باشد که رابط اصلی بین نئوکورتکس و هیپوکامپ می‌باشد (۲۹) و سیستم اینتورینال-هیپوکامپ نقش مهمی در تشکیل حافظه و ثبت آن و نیز در بهینه سازی حافظه در خواب دارد (۳۰). اما هنگام استفاده از محلول‌های بتا آمیلوئید با تحریک ناحیه اینتورینال با فرکانس ۵۰ هرتز تضعیف فعالیت الکتریک نورون‌های هیپوکامپ قبل، در حین و بعد از تحریک مشاهده شد. هنگام بیماری آلزایمر امکان تخریب نورون‌های گلوتاماترژیک هیپوکامپ و نورون‌های کولینرژیک مغز میانی با حفظ نورون‌های گلوبالرژیک آن نواحی و انتظار مهار مکانیسم حفاظتی برای سلول‌های عصبی وجود دارد (۳۱,۳۲). محلول‌های بتا آمیلوئید A β 25-35 و A β 1-42 نتایج پاتولوژیک نظری بیماری آلزایمر ایجاد می‌کنند (۳۷) و باعث بیماری آلزایمر می‌شوند (۳۳) این بیماری باعث مرگ نورونی (۳۴) آتروفی ناحیه تمپورال و از بین رفتمن میلین در این ناحیه می‌شود (۳۵). داده‌های اخیر نشان دادند که بتا آمیلوئید باعث آسیب پلاستیتی سیناپسی همزمان با کاهش حافظه و جنون مغزی می‌شود و همچنین بتا آمیلوئید باعث کاهش تنانیک پتانسیشن طولانی (LTP) در هیپوکامپ نیز می‌گردد (۳۶). داده‌های اخیر و تحقیقی که توسط جندرؤون و پتروسلی روی تخریب نورونی در بیماری آلزایمر انجام داده بودند همسو با نتایج ما می‌باشد بطوری که در نتایج آن‌ها نیز کاهش عملکرد نورونی مشاهده شد (۳۷) و در نتایج ما نیز بعد از استفاده از بتا آمیلوئید تنانیک پتانسیشن تأخیری (PTP) و تنانیک دیپریشن تأخیری (PTD) نسبت به سطح نرمال قابل محسوس بود و همچنین عدم توازن اسپایک‌ها قبل و بعد از تحریک که در گروه‌های بتا آمیلوئیدی مشاهده شد و این کاهش اسپایک‌ها و عدم توازن آن‌ها می‌تواند حضور کم نورون‌ها یا نقصان همکاری سیناپس‌ها و یا اختلال در سیستم نوروترانسمیتری سیناپس‌ها باشد بطوری که در تحقیقات دیگر محققان نشان داده

References:

1. Tamagnini F, Burattini C, Casoli T, Ballesti M, Fattoretti P, Aicardi G. early impairment of long – term depression in the perirhinal cortex of a mouse model of Alzheimers disease. *Rejuvenation Res* 2012; 15(2): 231-4.
2. Hardy J, Selkoe DJ. The amyloid hypothesis of Alzheimer's disease: progress and problems on
- the road to therapeutics. *Science* 2002;297(5580):353–6.
3. Wenk GL. Neuropathologic changes in Alzheimer's disease. *J Clin Psychiatry* 2003; 64 suppl(9): 7-10.
4. Braak H, Del Tredici K. Where, when, and in what form does sporadic Alzheimer's disease begin? *Curr Opin Neurol* 2012;25(6):708–14.
5. Dooren TV, Princen K, Witte K De, Griffioen G. Derailed Intraneuronal Signalling Drives

- Pathogenesis in Sporadic and Familial Alzheimer's Disease. BioMed Res Int 2014; 2014: 1-14.
6. Kamynina AV, Filatova MP, Koroev DO, Abramov AY, Volpina OM. Antibodies to Synthetic fragment 95-123 of theprion protein protect neurons and astrocytes from Beta - Amyloid to toxicity. Bioorganicheskaya khimiya 2013; 39(2): 131-40.
 7. Walsh DM, Selkoe DJ. Deciphering the molecular basis of memory failure in Alzheimer's disease. Neuron 2004; 44:181-93.
 8. Blennow K, de Leon MJ, Zetterberg H. Alzheimer's disease. Lancet 2006; 368: 387-403.
 9. Porayette P, Gallego MJ, Kaltcheva MM, Bowen RL, Vadakkadath Meethal S, Atwood CS. Differential processing of Amyloid- beta precursor protein directs human embryonic stem cell proliferation and differentiation into neuronal precursor cells. J Biolchem 2009; 284: 23806-17.
 10. Guyton AC, Hall JE. Guyton and Hall text book of medical physiology 20th Ed. Philadelphia; 2011. P.727-728.
 11. Bond JP, Deverin SP, Inouye H, el-Agnaf OMA, Teeter MM, Kirschner DA. Assemblies of Alzheimer's peptides A beta 25-35 and A beta 31-35: reverse-turn conformation and side-chain interactions revealed by X-ray diffraction. J Struct Biol 2003;141(2):156-70.
 12. Shanmugamo G, Lavarapu PL. structure of Aβ(25-35) peptide in different environments. Biophysical J 2004; 87(1): 622-30.
 13. Hartmann T, Bieger SC, Brühl B, Tienari PJ, Ida N, Allsop D, et al. Distinct sites of intracellular production for Alzheimer's disease A beta40/42 amyloid peptides. Nat Med 1997; 3 (9): 1016-20.
 14. Yin YI, Bassit B, Zhu L, Yang X, Wang C, Li YM. γ-Secretase Substrate Concentration Modulates the Aβ42/Aβ40 Ratio: Implications for Alzheimer's disease. J Biol Chem 2007; 282 (32): 23639-44.
 15. Dehghani L, Hashemi-Beni B, Poorazizi E, Khorvash F, Shayannejad V, Sedghi M, et al. Evaluation of neural gene expression in serum treated embryonic stem cells in Alzheimer's patients. J Res Med Sci 2013;18(Suppl 1):S20-3.
 16. Hardy J, Selkoe DJ. The Amyloid hypothesis of Alzheimer's disease: progress and problems on the road to therapeutics. Science 2002; 297: 353-6.
 17. Nat R, Nilbratt M, Narkilahti S, Winblad B, Hovatta O, Nordberg A. Neurogenic neuroepithelial and radial glial cells generated from six human embryonic stemcell lines in serum- free suspension and adherent cultures. Glia 2007; 55: 385-99.
 18. Jellinger KA. Recent advances in our understanding of neurodegeneration. J Neural Transm 2009; 116(9): 1111-62.
 19. Balietti M, Tamagnini F, Fattoretti P, Burattini C, Casoli T, Platano D, et al. Impairments of synaptic plasticity in aged animals and in animal models of Alzheimer's disease. Rejuvenation Res 2012;15(2):235-8.
 20. Hsieh H, Boehm J, Sato C, Iwatsubo T, Tomita T, Sisodia S, et al. AMPAR removal underlies Abeta-induced synaptic depression and dendritic spine loss. Neuron 2006; 52: 831-43.
 21. Khachaturian ZS. Calcium hypothesis of Alzheimer's disease and brain aging. Ann NY Acad Sci 1994; 747: 1-11.
 22. Kumar A. Long-Term Potentiation at CA3-CA1 Hippocampal Synapses with Special Emphasis on Aging, Disease, and Stress. Front Aging Neurosci 2011;3:7.
 23. Sun B, Halabisky B, Zhou Y, Palop J J, Yu G, Mucke L, et al. Imbalance between GABAergic and Glutamatergic Transmission Impairs Adult

- Neurogenesis in an Animal Model of Alzheimer's Disease. *Cell Stem Cell* 2009; 5: 624-33.
24. Galoyan AA. Brain neurosecretory cytokines. Immune response and neuronal survival. Kluwer Acad. New York: Plenum Publishers; 2004. P.188.
25. Galoyan AA. The brain immune system: chemistry and biology of the signal molecules. In: Handbook of Neurochemistry and Molecular Neurobiology, 3th ed. Neuroimmunology (eds. A.Galoyan, and H Besedovsky); 2008. P.155-195.
26. Galoyan A, Khalaji N, Hambardzumyan L, Manukyan L, Meliksetyan I, Chavushyan V, et al. Protective Effects of Hypothalamic Proline-Rich Peptide and Cobra Venom Naja Naja Oxiana on Dynamics of Vestibular Compensation Following Unilateral Labyrinthectomy. *Neurochem Res* 2010; 35:1747-60.
27. Khalaji N, Sargsyan V, Sarkissian J, Chavoshian V. Protective effect of Proline-rich peptides' hypothalamus (PRP-1) on the Alzheimer's disease induced by Amyloid peptide A β 25-35 in rat. *Urmia Med J* 2013; 249(7): 509-17. (Persian)
28. Paxinos G, Watson C. The Rat Brain in Stereotaxic Coordinates. 5th ed. New York: Acad Press; 2005. P. 367.
29. Wintter M. Entorhinal cortex. *Scholarpedia* 2011; 6(10):4380.
30. Suthana N, Haneef Z, Stern J, Mukamel R, Behnke E. Memory enhancement and deep-brain stimulation of the entorhinal area. *N Engl J Med* 2012 366: 502-10.
31. Rissman RA, Blas AL, Armstrong DM. GABA A receptors in aging and Alzheimer's disease. *J Neurochemistry* 2007; 103(4):1285-92.
32. Palop JJ, Chin J, Roberson ED, Wang J, Thwin MT, Bien-Ly Nga, et al. Aberrant Excitatory Neuronal Activity and Compensatory Remodeling of Inhibitory Hippocampal Circuits in Mouse Models of Alzheimer's Disease. *Neuron* 2007; 55: 697-711.
33. Pereira C, Agostinho P, Moreira PI, Cardoso SM, Oliveira CR. Alzheimer's disease-associated neurotoxic mechanisms and neuroprotective strategies. *Curr Drug Targets CNS Neurol Disord* 2005;4(4):383-403.
34. Kikuchi M, Ogishima S, Miyamoto T, Miyashita A, Kuwano R, Nakaya J, et al. Identification of unstable network modules reveals disease modules associated with the progression of Alzheimer's disease. *J pone* 2013; 8(11):e76162.
35. Rowland CP, Pedley TA. Merritt's Neurology. 12th ed. Philadelphia: 530 Walnut Street. PA 19106. USA; 2010. P.713-716.
36. Chen X, Lin R, Chang L, Xu S, Wei X, Zhang J, et al. Enhancement of long-term depression by soluble amyloid β protein in rat hippocampus is mediated by metabotropic glutamate receptor and involves activation of p38MAPK, STEP and caspase-3. *Neuroscience* 2013; 253:435-43.
37. Gendron TF, Petrucelli L. The role of tau in neurodegeneration. *Molecular Neurodegeneration* 2009; 4: 1-73.
38. Palop JJ, Mucke L. Amyloid-beta-induced neuronal dysfunction in Alzheimer's disease: from synapses toward neural networks. *Nat Neurosci* 2010; 13: 812-8.
39. Nava-Mesa MO, Jiménez-Díaz L, Yajeya J, Navarro-Lopez JD. GABAergic neurotransmission and new strategies of neuromodulation to compensate synaptic dysfunction in early stages of Alzheimer's disease. *Front Cell Neurosci* 2014;8:167.
40. Galoyan AA. Neurochemistry of Brain neuroendocrine immune system: signal molecules. *Neurochemical Research* 2001; 25(9-10): 1343-55.
41. Perea G, Navarrete M, Araque A. Tripartite synapses: astrocytes process and control synaptic

- information. Trends in Neurosciences 2009; 32(8):421-31.
42. Rossi D, Volterra A. Astrocytic dysfunction: insights on the role in neurodegeneration. Brain Res Bull 2009; 80: 224-32.

REPARATIVE EFFECT OF PROLINE-RICH PEPTIDES' HYPOTHALAMUS (PRP-1) ON THE ELECTRICAL ACTIVATION OF HIPPOCAMPUS NEURONS IN THE ALZHEIMER'S DISEASE INDUCED BY AMYLOID PEPTIDES AB25-35 AND AB1-42 IN RATS

*Nasre Khalaji *¹, John Sarkissian², Vergine Chavushyan³, Vaghinak Sarkisian⁴*

Received: 16 Jul , 2014; Accepted: 5 Sep , 2014

Abstract

Background & Aims: Alzheimer's disease is the most common form of dementia which it destroyed memory and thinking skills slowly. There is no cure for the disease and it leads to death eventually. Proline rich peptide (PRP-1) is produced from neurosecretory cells of hypothalamus that has large spectrum of biological action on immune and nervous system. The Aβ1-42 is more effective in the development of Alzheimer's disease than Aβ25-35. The purpose of this research is to study the effect of PRP-1 on the electrical activity of Hippocampus neurons in the Alzheimer's disease induced by β amyloid proteins Aβ25-35 and Aβ1-42.

Materials & Methods: The present experimental study was carried out on 20 adult male wistar rat's weighing 230±30gr and aged 3-4 months. At first, the rats were randomly divided into five groups (normal, Amyloids and Amyloids with PRP-1). In the control group without injection of β amyloid solutions and PRP-1, in the amyloid groups after injection of β amyloid solutions 3 μLit and the amyloid with PRP-1 groups after injection of β amyloid solutions and treatment with PRP-1, experiment of electrophysiology with stimulus entorhinal cortex with frequency 50 and 100 HZ was performed and electrical activity of Hippocampus neurons on the base of tetanic potentiation and tetanic depression was recorded.

Results: The results of this research showed when administration of PRP-1 leads to approach of inhibitory and excitatory post stimulus early and late activity of hippocampus neurons to normal levels in Alzheimer's disease produced by Aβ 25-35, but in the case of the Aβ 1-42 model the inhibitory post stimulus manifestations of activity didn't reach the normal level.

Conclusion: During Aβ 25-35 and 1-42 intoxication, a possible GABA-ergic nature of the post stimulus depression was performed and the neurodegeneration was counteracted and the protective effect of PRP-1 was supported.

Key words: Alzheimer's disease, Proline rich peptides' hypothalamus (PRP-1), electrical activity of neurons, Hippocampus, β amyloid peptides(Aβ25-35, Aβ1-42)

Address: Department of Physiology, Faculty of Medicine, Urmia University of Medical Sciences, Nazlo Road, Urmia, Iran

Tel: +984432770698

E-mail: khalaji.naser@gmail.com

SOURCE: URMIA MED J 2014; 25(8): 717 ISSN: 1027-3727

¹ Assistant Professor, Physiology Department, Faculty of Medicine, Urmia University of Medical Sciences, Urmia, Iran (Corresponding Author)

² Professor of Neurophysiology, Orbeli Institute of Neurophysiology, Yerevan State University, Yerevan, Armenia

³ Professor of Neurophysiology, Orbeli Institute of Neurophysiology, Yerevan State University, Yerevan, Armenia

⁴ Professor of Neurophysiology, Orbeli Institute of Neurophysiology, Yerevan State University, Yerevan, Armenia